

5. Коробейников В. П. Задачи теории точечного взрыва в газах.— М.: Наука, 1985.
6. Федоров В. Ф. О гомотермической ударной волне, вызванной действием мгновенного монохроматического излучения // ПМТФ.— 1979.— № 2.
7. Черный Г. Г. Течение газа с большой сверхзвуковой скоростью.— М.: Физматгиз, 1959.
8. Горбачев Л. П., Федоров В. Ф. О влиянии выделившейся при взрыве массы на распространение тепловой волны // ПМТФ.— 1978.— № 1.
9. Федоров В. Ф. О гомотермическом движении газа вблизи плотной среды // ПМТФ.— 1987.— № 1.
10. Подводные и подземные взрывы / Под ред. В. Н. Николаевского.— М.: Мир, 1974.

Поступила 9/X 1986 г.

УДК 551.466.81

## ДАЛЬНЕЕ ПОЛЕ ВОЛН, ОБРАЗУЕМЫХ ДИПОЛЕМ В ПОТОКЕ ТЕКУЩЕЙ С КРИТИЧЕСКОЙ СКОРОСТЬЮ СТРАТИФИЦИРОВАННОЙ ЖИДКОСТИ

В. Ф. Санников  
(Севастополь)

В линейной постановке рассматривается пространственная задача об установившихся волнах, образующихся при обтекании диполя, в равномерном потоке невязкой несжимаемой стратифицированной жидкости конечной глубины. Известны приближенные полуасимптотические решения численными методами аналогичных задач [1, 2] для заданных распределений плотности жидкости по глубине. Точное решение в виде суммы однократных интегралов для волн от источника получено в [3]. В последнее время была определена равномерная асимптотика для области переднего фронта отдельной моды при скорости потока  $c$ , большей скорости распространения длинных волн  $n$ -й моды  $c_n$  [4, 5]. Для жидкости конечной глубины эта асимптотика выражена через функции Эйри [4], а для бесконечно глубокой жидкости — через интегралы Френеля [5]. Способ построения полных асимптотических разложений решения [3] при  $c < c_n$  описан в [6].

В данной работе вычислена асимптотика точного (в линейной постановке) решения рассматриваемой задачи для критической скорости потока  $c = c_n$ , в том числе равномерная асимптотика для области переднего фронта.

Пусть горизонтальный поток невязкой несжимаемой жидкости глубины  $H$  обтекает погруженный ориентированный против потока точечный диполь. Плотность жидкости в невозмущенном состоянии  $\rho_0(z)$  зависит от одной вертикальной координаты  $z$  и не убывает с глубиной. В линейной постановке поле вертикальных смещений частиц жидкости  $\zeta(x, y, z)$ , образуемое диполем, описывается уравнением

$$(1) \quad D^2 \frac{\partial}{\partial z} \left( \rho_0 \frac{\partial}{\partial z} \zeta \right) + \rho_0 (N^2 + D^2) \Delta_2 \zeta = M c^{-1} D^2 \left\{ \delta(x) \delta(y) \frac{d}{dz} [\rho_0 \delta(z + H_1)] \right\}$$

с граничными условиями

$$(2) \quad \left( D^2 \frac{\partial}{\partial z} - g \Delta_2 \right) \zeta = 0 \quad (z = 0), \quad \zeta = 0 \quad (z = -H),$$

где  $D = c \partial / \partial x$ ;  $\Delta_2 = \partial^2 / \partial x^2 + \partial^2 / \partial y^2$ ;  $x, y$  — горизонтальные координаты; жидкость течет со скоростью  $c$  в положительном направлении оси  $x$ ; диполь помещен в точку с координатами  $(0, 0, -H_1)$ ;  $N^2 = -g \rho_0^{-1} d\rho_0/dz$  — квадрат частоты Вайсяля — Брента;  $M$  — величина момента диполя;  $g$  — ускорение свободного падения;  $\delta(\cdot)$  — дельта-функция. Для безграничной однородной жидкости [7] диполь дает картину обтекания шара радиуса  $\sqrt[3]{M/2\pi c}$ .

В [1] получено точное решение аналогичной задачи для волн от точечного источника. Можно показать, что соответствующее решение (1),

(2) имеет вид

$$(3) \quad \zeta = M (2\pi^2 c)^{-1} \rho_0(-H_1) \sum_{n=0}^{\infty} \zeta_n(x, y, z),$$

$$\zeta_n = \operatorname{Re} \int_{-\pi/2}^{\pi/2} \Psi_n(\theta; z, -H_1) G[-R\beta_n^{1/2} \cos(\theta - \gamma)] d\theta.$$

Здесь  $R, \gamma$  — полярные координаты горизонтальной плоскости  $(x, y)$ ;  $x = R \cos \gamma$ ;  $y = R \sin \gamma$ ;  $\Psi_n = W_n(z, \theta) \frac{d}{dz} W_n(-H_1; \theta)$ ;  $\beta_n^{1/2}$  — арифметическая ветвь корня;  $\beta_n$  и  $W_n$  — собственные значения ( $\beta_0 > \beta_1 > \dots$ ) и нормированные собственные функции  $\left( \int_{-H}^0 \rho_0 W_n^2 dz = 1 \right)$  задачи Штурма — Лиувилля  $\frac{d}{dz} \left( \rho_0 \frac{d}{dz} W \right) + \rho_0 (N^2 \lambda - \beta) W = 0$  ( $-H < z < 0$ ),  $\frac{d}{dz} W - g \lambda W = 0$  ( $z = 0$ ),  $W = 0$  ( $z = -H$ ),  $\lambda = (c \cos \theta)^{-2}$ . В формуле (3)  $G(u)$  — аналитическое продолжение функции  $\varphi(u) = \int_0^{\infty} t(t^2 + 1)^{-1} e^{-ut} dt$  ( $\operatorname{Re} u > 0$ ) в комплексную плоскость переменной  $u$  с разрезом  $(-\infty, 0]$ . Опишем кратко свойства функции  $G(u)$ . Из определения выводится

$$(4) \quad G(-u) = G(u) + i s \pi e^{i s u}, \quad s = \operatorname{sign}(\arg u);$$

$$(5) \quad G(u) \sim - \sum_{m=1}^{\infty} (-1)^m (2m-1)! u^{-2m} \quad \text{при } |u| \rightarrow \infty, \quad |\arg u| < \pi.$$

Обозначим  $F(u) = \frac{d}{du} [G(u) + \ln u]$ , где берется главная ветвь логарифма. Действительные части  $F(u)$  и суммы  $[G(u) + \ln u]$  непрерывно изменяются при переходе через разрез и вдоль действительной оси  $u$ ,  $\operatorname{Re} F(0) = \pi/2$ ,  $\operatorname{Re}[G(u) + \ln u]_{u=0} = -C_0$ ,  $C_0$  — постоянная Эйлера. Функции  $G(u)$  и  $F(u)$  связаны также соотношением  $\frac{d}{du} F(u) = -G(u)$ .

Свойства дисперсионных зависимостей  $\beta_n(\lambda)$  подробно описаны в [3]. Для целей этой работы существенно, что  $\beta_n(\lambda)$  при  $\lambda \geq 0$  монотонно возрастают, стремясь к бесконечности при  $\lambda \rightarrow \infty$ , причем

$$(6) \quad \frac{d\beta_n}{d\lambda} = g \rho_0 W_n^2|_{z=0} + \int_{-H}^0 \rho_0 N^2 W_n^2 dz,$$

и имеют по одному простому нулю  $\lambda = \lambda_n$ . Критическая скорость для волн  $n$ -й моды  $c_n$  связана с  $\lambda_n$  простым соотношением  $c_n = \lambda_n^{-1/2}$ . В критическом случае  $c = c_n$ , рассматриваемом в этой работе, функция  $r_{n1}(\theta) = \beta_n^{1/2} (c^{-2} \cos^{-2} \theta)$  из (3) является четной, положительной при  $\theta \neq 0$ ,  $r_{n1}(0) = 0$ ,  $\frac{d}{d\theta} r_{n1}(\pm 0) = \pm \kappa_n$  ( $\kappa_n = c_n^{-1} \sqrt{\beta'_{n\lambda}(\lambda_n)}$ ).

Проведем анализ вклада  $n$ -й моды в дальней области волнового поля (при  $R \rightarrow \infty$ ,  $\gamma_1 \leq \gamma \leq \pi$ ,  $\gamma_1$  — малое положительное число). Сделаем предварительно некоторые замечания о технической стороне вычисления асимптотического разложения интеграла (3). Отметим, что при  $c = c_n$  аргумент функции  $G(\cdot)$  в (3) принимает только действительные значения. Из (4) и (5) следует

$$(7) \quad \operatorname{Re} G(u) \sim \delta \pi \sin u - \sum_{m=1}^{\infty} (-1)^m (2m-1)! u^{-2m},$$

где  $\delta = 0$  при  $u > 0$  и  $\delta = 1$  при  $u < 0$ , когда  $\operatorname{Im} u = 0$  и  $|u| \rightarrow \infty$ . Выделив окрестности нулей выражения  $\Delta_{n1}(\theta) = r_{n1}(\theta) \cos(\theta - \gamma)$ , для

оставшейся части интервала интегрирования в соответствии с (7) получим для (3) интеграл Фурье и степенной ряд. Асимптотика интеграла Фурье вычисляется методом стационарной фазы [8]. Вклады нулей  $\Delta_{n1}$  находятся интегрированием по частям [6].

Функция  $\Delta_{n1}(\theta)$  при  $0 < \gamma < \pi$ ,  $\gamma \neq \pi/2$  имеет два простых нуля  $\theta_0 = 0$  и  $\theta_1 = \gamma - \pi/2$ , поскольку

$$(8) \quad \frac{\partial}{\partial \theta} \Delta_{n1}(\theta_1) = r_{n1}(\theta_1) \quad \text{и} \quad \frac{\partial}{\partial \theta} \Delta_{n1}(\pm 0) = \pm \kappa_n \cos \gamma.$$

Если  $\gamma = 0$  или  $\gamma = \pi$ , то  $\Delta_{n1}$  имеет только один нуль  $\theta_0$  (известно, что  $r_{n1} \cos \theta \rightarrow c^{-1} \max_z N(z)$  при  $\theta \rightarrow \pi/2$ ,  $n \geq 1$  и  $r_{01} \cos \theta \rightarrow \infty$ ), а если  $\gamma = \pi/2$ , то  $\Delta_{n1}$  имеет один кратный нуль. Рассмотрим сначала случай, когда  $\Delta_{n1}$  имеет два нуля  $\theta_0 \neq \theta_1$ . Выберем непересекающиеся окрестности  $V_0$  и  $V_1$  точек  $\theta_0$  и  $\theta_1$  соответственно и устроим разбиение единицы [8]

$$(9) \quad \eta_0(\theta) + \eta_1(\theta) + \eta_2(\theta) \equiv 1.$$

Здесь функции  $\eta_k(\theta)$  ( $k = 0, 1$ ) равны нулю вне  $V_k$ , бесконечно дифференцируемы,  $\eta_k(\theta_k) = 1$  и  $d^m \eta_k(\theta_k)/d\theta^m = 0$  при  $m \geq 1$ , функция  $\eta_2(\theta)$  определена тождеством (9). Теперь выражение (3) можно записать в виде суммы

$$(10) \quad \zeta_n = \sum_{k=0}^2 \zeta_{nk}, \quad \zeta_{nk} = \operatorname{Re} \int_{-\pi/2}^{\pi/2} \Psi_{nk} G(-R\Delta_{n1}) d\theta, \quad \Psi_{nk} = \Psi_n \eta_k.$$

Вычислим асимптотику при  $R \rightarrow +\infty$  каждого из слагаемых (10). Регуляризуем аргумент функции  $G(\cdot)$ , обозначив  $r_n(\theta) = \operatorname{sign}(\theta)r_{n1}(\theta)$  и  $\Delta_n = r_n \cos(\theta - \gamma)$ . Используя (4), получаем

$$(11) \quad \zeta_{n0} = \pi \operatorname{Im} \int_{V_0, \theta \leq 0} \Psi_{n0} e^{iR\Delta_n} d\theta + \operatorname{Re} \int_{V_0} \Psi_{n0} G(-R\Delta_n) d\theta.$$

Первое слагаемое в (11) с точностью до  $O(R^{-\infty})$  равно вкладу граничной точки  $\theta = 0$  [8], асимптотика второго слагаемого и  $\zeta_{n1}$  находится интегрированием по частям [6].

В результате

$$(12) \quad \zeta_{n0} = B_n(R, \gamma) + Z_{n0}(R, \gamma), \quad \zeta_{n1} = Z_{n1}(R, \gamma),$$

$$B_n(R, \gamma) \sim -\pi \sum_{m=0}^{\infty} (-1)^m R^{-(2m+1)} M^{2m} \left[ \frac{\Psi_n}{\Delta_{n\theta}} \right]_{\theta=0},$$

$$Z_{nk}(R, \gamma) \sim \sum_{m=1}^{\infty} (-1)^m R^{-2m} \int_{V_k} \ln |\Delta_n| \frac{d}{d\theta} M^{2m-1} \left[ \frac{\Psi_{nk}}{\Delta'_{n\theta}} \right] d\theta, \quad M = \frac{1}{\Delta'_{n\theta}} \frac{d}{d\theta}.$$

Главный член асимптотики  $\zeta_{n0} = -\frac{\pi}{x\kappa_n} \Psi_n(0; z, -H_1) + O(R^{-2})$ . Носитель функции  $\eta_2(\theta)$  в оставшемся интеграле  $\zeta_{n2}$  представляет собой объединение трех интервалов, на которых  $|\Delta_{n1}|$  равномерно ограничен снизу. Используя (4) и учитывая знаки  $\Delta_{n1}$  на этих интервалах, находим

$$(13) \quad \zeta_{n2} = \pi \operatorname{Im} \int_{\theta_3}^0 \Psi_{n2} e^{iR\Delta_n} d\theta + \pi \operatorname{Im} \int_{\theta_4}^{\pi/2} \Psi_{n2} e^{iR\Delta_n} d\theta + \operatorname{Re} \int_{-\pi/2}^{\pi/2} \Psi_{n2} G(R|\Delta_n|) d\theta,$$

$$\theta_3 = \min(\theta_0, \theta_1) \quad \text{и} \quad \theta_4 = \max(\theta_0, \theta_1).$$

Первый интеграл в (13) отличен от нуля только при  $\gamma < \pi/2$  и имеет по крайней мере одну стационарную точку, поскольку  $\Delta'_{n\theta}(\theta_1) < 0$ , а  $\Delta'_{n\theta}(0) > 0$ . Формулы полных асимптотических разложений вкладов простых, кратных и близких стационарных точек даны в [8]. Других критических точек у этого слагаемого (13) нет. В каждом конкретном случае

стационарные точки могут быть найдены, обозначим их суммарный вклад как  $S_n(R, \gamma)$ . Второе слагаемое (13) в рассматриваемой области  $0 < \gamma \leq \pi$  не имеет критических точек [1], поэтому вклад его в волновое поле есть  $O(R^{-\infty})$ . Асимптотика последнего слагаемого (13) выводится из (5) и теоремы об интегрировании асимптотических рядов [8]. В результате при  $R \rightarrow +\infty$

$$(14) \quad \zeta_{n2} = S_n(R, \gamma) + D_n(R, \gamma),$$

$$D_n(R, \gamma) \sim - \sum_{m=1}^{\infty} (-1)^m R^{-2m} (2m-1)! \int_{-\pi/2}^{\pi/2} \Psi_{n2} \Delta_n^{-2m} d\theta.$$

Итак, если  $\gamma \neq \pi/2$ , в дальней области волнового поля  $\zeta_n$  с точностью до  $O(R^{-\infty})$  равно сумме вкладов граничной точки, нулей  $\Delta_n$  (12), стационарных точек и ряда  $D_n(R, \gamma)$  (14). Сумму рядов по четным степеням  $R$  из (12) и (14) можно записать в виде

$$Z_{n0}(R, \gamma) + Z_{n1}(R, \gamma) + D_n(R, \gamma) \sim - \sum_{m=1}^{\infty} (-1)^m R^{-2m} (2m-1)! \int_{-\pi/2}^{\pi/2} \Psi_n \Delta_n^{-2m} d\theta,$$

где  $\Delta_n^{-2m}$  должны рассматриваться как обобщенные функции [9].

При  $\gamma \rightarrow \pi/2$  происходит слияние нулей  $\theta_0$  и  $\theta_1$  аргумента функции  $G$  в (3), поэтому полученные асимптотические разложения не равномерны по  $\gamma$ ,  $0 < \gamma_1 \leq \gamma \leq \pi$ . Вычислим асимптотику  $\zeta_n$  в окрестности переднего фронта — плоскости  $x = O(\gamma = \pi/2)$ . Пусть  $\omega$  — малое положительное число,  $|\theta_1| < \omega$ ,  $V_0 = (-2\omega, 2\omega)$  — окрестность точки  $\theta = 0$ ,  $\eta_0(\theta)$  — бесконечно дифференцируемая функция, равная единице при  $|\theta| \leq \omega$  и нулю вне  $V_0$ , а  $\eta_2(\theta) = 1 - \eta_0(\theta)$ . В этих обозначениях  $\zeta_n$  равно сумме

$$(15) \quad \zeta_n = \zeta_{n0} + \zeta_{n2}.$$

Здесь для  $\zeta_{n0}$  справедлива формула (11), а для  $\zeta_{n2}$  — (13) без первого слагаемого и, следовательно, с точностью до  $O(R^{-\infty})$

$$(16) \quad \zeta_{n2} = D_n(R, \gamma).$$

Функция  $\Delta_n$  удовлетворяет условиям (6.1.20) [8]  $\Delta'_{n\theta}(0) = 0$ ,  $\Delta''_{n\theta\theta}(0) = -2\kappa_n$ ,  $\Delta''_{n\theta\gamma}(0) = -\kappa_n$  при  $\gamma = \pi/2$ , поэтому [8] уравнение  $\Delta'_{n\theta} = 0$  имеет ровно одно решение  $\theta_2(\gamma)$  при  $\gamma$ , достаточно близком к  $\pi/2$ , и возможна замена переменной  $\theta = u(\xi, \gamma)$ , при которой

$$(17) \quad \xi^2 = \Delta_n(\theta) - \Delta_{n2}, \quad \Delta_{n2} = \Delta_n(\theta_2), \quad \frac{\partial}{\partial \xi} u(0, \gamma) = \sqrt{\frac{2}{\Delta''_{n\theta\theta}(\theta_2)}}$$

и  $u(\xi, \gamma)$  голоморфна в окрестности точки  $(0, \pi/2)$ . Замена (17) позволяет преобразовать (11) к виду

$$(18) \quad \zeta_{n0} = \eta_{n1} + \eta_{n2},$$

$$\eta_{n1} = \pi \operatorname{Im} \left\{ e^{iR\Delta_{n2}} \int_{-\infty}^B \varphi_n e^{iR\xi^2} d\xi \right\}, \quad \eta_{n2} = \operatorname{Re} \int_{-\infty}^{\infty} \varphi_n G[-R(\xi^2 + \Delta_{n2})] d\xi,$$

где  $B = \operatorname{sign}\left(\frac{\pi}{2} - \gamma\right) \sqrt{-\Delta_{n2}}$ ;  $\varphi_n(\xi) = \Psi_n \eta_0 u'_\xi$  и  $\varphi_n$  продолжена нулем вне области определения  $u(\xi, \gamma)$  по  $\xi$ . Полные асимптотические при  $R \rightarrow \infty$  разложения интегралов (18) вычисляются интегрированием по частям с помощью простого технического приема. Продемонстрируем его на разложении первого из интегралов (18):

$$\int_{-\infty}^B \varphi_n(\xi) e^{iR\xi^2} d\xi = \varphi_n(0) \int_{-\infty}^B e^{iR\xi^2} d\xi + \int_{-\infty}^B \frac{[\varphi_n(\xi) - \varphi_n(0)]}{2iR\xi} d e^{iR\xi^2} =$$

$$= \varphi_n(0) \int_{-\infty}^B e^{iR\xi^2} d\xi + \frac{\varphi_n(B) - \varphi_n(0)}{2iRB} e^{iRB^2} - \frac{1}{2iR} \int_{-\infty}^B P(\varphi_n) e^{iR\xi^2} d\xi, \quad P(\varphi_n) = \\ = \frac{d}{d\xi} \left[ \frac{\varphi_n(\xi) - \varphi_n(0)}{\xi} \right].$$

Продолжение этой процедуры дает асимптотическое разложение для первого слагаемого (18)

$$(19) \quad \eta_{n1} \sim \pi \operatorname{Im} \sum_{m=0}^{\infty} (-2iR)^{-m} \left\{ P^m(\varphi_n) \Big|_0^B e^{iR\Delta_{n2}} \int_{-\infty}^B e^{iR\xi^2} d\xi + \frac{P^m(\varphi_n)}{2iRB} \Big|_0^B \right\}.$$

Интеграл в (19) выражается через специальную функцию — интеграл Френеля  $\int_{-\infty}^B e^{iR\xi^2} d\xi = \frac{1}{2} \sqrt{\frac{\pi}{R}} \Phi(BR^{1/2})$ ,  $\Phi(u) = \frac{2}{\sqrt{\pi}} \int_{-\infty}^u e^{it^2} dt$ .

В результате такого же интегрирования по частям для  $\eta_{n2}$  получаем ряд

$$(20) \quad \eta_{n2} \sim \sum_{m=0}^{\infty} (-1)^m (2R)^{-2m} \left\{ P^{2m}(\varphi_n) \Big|_0 J_1 - \frac{1}{2R} P^{2m+1}(\varphi_n) \Big|_0 J_2 - \right. \\ \left. - \frac{1}{4R^2} \int_{-\infty}^{\infty} P^{2m+2}(\varphi_n) \ln |s_n(\xi)| d\xi \right\};$$

$$(21) \quad J_1 = \operatorname{Re} \int_{-\infty}^{\infty} G[-Rs_n(\xi)] d\xi, \quad J_2 = \operatorname{Re} \int_{-\infty}^{\infty} F[-Rs_n(\xi)] d\xi, \quad s_n(\xi) = \xi^2 + \Delta_{n2}.$$

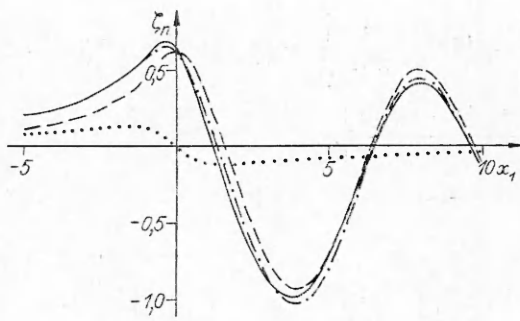
Подынтегральные функции в (21) голоморфны в области  $0 < \arg \xi < \pi$ , и, поскольку из (5) следует, что  $|G(-Rs_n)| = O(|\xi|^{-4})$  и  $|F(-Rs_n)| = O(|\xi|^{-2})$  при  $|\xi| \rightarrow \infty$ , интегралы (21) равны нулю. С учетом этого переписываем (20):

$$(22) \quad \eta_{n2} \sim \sum_{m=1}^{\infty} (-1)^m (2R)^{-2m} \int_{-\infty}^{\infty} P^{2m}(\varphi_n) \ln |s_n(\xi)| d\xi.$$

Формулы (15), (16), (18), (19) и (22) дают полное асимптотическое разложение для  $\zeta_n$  в окрестности переднего фронта. Главный член асимптотики  $\zeta_n$  при  $\gamma \rightarrow \pi/2$  имеет вид

$$(23) \quad \zeta_n = \pi \operatorname{Im} \left\{ \Psi_n \sqrt{\frac{\pi}{2R\Delta_{n\theta}}} e^{iR\Delta_n} \Phi(BR^{1/2}) \Big|_{\theta=\theta_2} \right\} + \frac{\Psi_n}{RB \sqrt{2\Delta_{n\theta}}} \Big|_{\theta=\theta_2} - \\ - \frac{\Psi_n}{\kappa_n x} \Big|_{\theta=0} + O(R^{-3/2} |\Phi(BR^{1/2})|).$$

Представление о близости к  $\zeta_n$  главного члена его асимптотики (23) дает рисунок. Расчеты проводились для жидкости с постоянной частотой Вайсяля — Брента, использовались приближение Буссинеска и условие «твердой крышки». Значения  $\zeta_n$  даны на рисунке с точностью до множителя  $\pi \Psi_n$ , который в этом примере не зависит от  $\theta$  [3],  $x_1 = x\pi n/H$ ,  $y = H/\pi n$ . Сплошная кривая соответствует  $\zeta_n$ , рассчитанному по формуле (3); штриховая — первому члену (23), содержащему интеграл Френеля; пунктирная — сумме следующих двух слагаемых (23), являющихся  $O(R^{-1})$ ; штрихпунктирная — всему главному члену асимптотики  $\zeta_n$ . Результаты проведенных расчетов показывают, что полученная асимптотика достаточно хорошо описывает вклад  $n$ -й моды в волновое поле при  $c = c_n$  даже на небольшом удалении от генератора волн. Учет членов порядка  $O(R^{-1})$  существенно улучшает асимптотическую оценку (23).



В заключение отметим, что интеграл для  $\eta_n$ -вклада  $n$ -й моды в волновое поле, образованное точечным источником [6], расходится при  $c = c_n$ . Однако поле смещений  $\eta(x, y, z)$ , генерируемое системой источник — сток интенсивности  $Q$ , расположенной в точках  $(-a, 0, -H_1)$  и  $(a, 0, -H_1)$ , определено при  $c = c_n$  и связано с  $\zeta(x, y, z)$  для диполя формулой  $\eta(x, y, z) =$

$= QM^{-1} \int_{-a}^a \zeta(x + \xi, y, z) d\xi$ . Асимптотика для передних фронтов волн в случаях  $c > c_n$  [4] и  $c < c_n$  [6] выражается через функции Эйри в отличие от (23). Таким образом, известные асимптотики для передних фронтов не равномерны по  $c$  при  $c$ , близких к  $c_n$ .

#### ЛИТЕРАТУРА

1. Стурова И. В., Сухарев В. А. Генерация внутренних волн локальными возмущениями в жидкости с заданным изменением плотности по глубине // Изв. АН СССР. ФАО.— 1981.— Т. 17, № 6.
2. Санников В. Ф. Влияние двух пикноклинов на установившиеся внутренние волны в потоке стратифицированной жидкости // Поверхностные и внутренние волны.— Севастополь, 1981.
3. Санников В. Ф. Ближнее поле установившихся волн, генерируемых локальным источником возмущений в потоке стратифицированной жидкости // Теоретические исследования волновых процессов в океане.— Севастополь, 1983.
4. Боровиков В. А., Владимиров Ю. В., Кельберт М. Я. Поле внутренних гравитационных волн, возбуждаемых локализованными источниками // Изв. АН СССР. ФАО.— 1984.— Т. 20, № 6.
5. Gray E. P., Hart R. W., Farrell R. A. The structure of the internal wave Mach front generated by a point source moving in a stratified fluid // Phys. Fluids.— 1983.— V. 26, N 10.
6. Санников В. Ф. Установившиеся внутренние волны, генерируемые локальным источником возмущений в потоке // Моделирование поверхностных и внутренних волн.— Севастополь, 1984.
7. Кочин Н. Е., Кибель И. А., Розе Н. В. Теоретическая гидромеханика.— М.: ГИТТЛ, 1955.— Ч. 1.
8. Федорюк М. В. Метод перевала.— М.: Наука, 1977.
9. Шилов Г. Е. Математический анализ. Второй специальный курс.— М.: Наука, 1965.

Поступила 4/XI 1986 г.

УДК 532.526.2

### О ЛАМИНАРНОМ ТЕЧЕНИИ ВБЛИЗИ УСТУПА

В. В. Боголепов, И. И. Липатов

(Москва)

Отрыв пограничного слоя может вызываться разными причинами: неблагоприятным градиентом давления, падением скачка уплотнения на пограничный слой, изломом контура обтекаемого тела и т. д. Один из возможных примеров тела с изломом обтекающей — уступ на плоской поверхности. Подобная конфигурация часто встречается на практике, поэтому исследование обтекания уступа выполнялось в целом ряде экспериментальных работ [1]. Численное моделирование обтекания уступов проводилось на основе полной системы уравнений Навье — Стокса в ограниченной области изменения числа Рейнольдса (см., например, [2]).

Для исследования возмущенного течения в пограничном слое при больших числах Рейнольдса широкое применение нашел метод сращиваемых асимптотических разложений. Обзоры исследований, в которых этот метод применялся к анализу отрывных течений, можно найти в [3—5]. Одним из важных моментов, связанных с применением метода сращиваемых асимптотических разложений, является выделение характерных областей течения. Разбиение возмущенного течения на области связано с неравномерной пригодностью асимптотических разложений или с разным воздействием на тече-